

## آنالیز حساسیت ضریب زبری مانینگ رودخانه‌ها در مدل HEC-RAS جهت تعیین پنهانه‌های سیلاب (مطالعه موردي: رودخانه کر – استان فارس)

علمی ترویجی

وحید شهرابی<sup>۱</sup>، فرشید هاشمی پور پتکوئی<sup>۲</sup>، حمید شیخ پور شاهی<sup>۳</sup>

تاریخ پذیرش: ۱۴۰۲/۰۶/۳۱

تاریخ دریافت: ۱۴۰۲/۰۵/۰۴

صفحات: ۸۶-۱۰۸

### چکیده

رودخانه‌ها یکی از معادود پدیده‌های طبیعی هستند که علی‌رغم خسارات و زیان‌های بی‌شماری که از دیرباز به انسان‌ها وارد نموده‌اند، به دلیل تأثیر ویژه در زندگی بشر و شکل‌گیری تمدن‌ها همواره انسان‌ها را به اراضی حاشیه رودخانه فراخوانده‌اند. در ایران نیز به دلیل وسعت زیاد، اقلیم متعدد و تراکم زمانی و مکانی بارش‌ها در اکثر حوزه‌های آبخیز، همه ساله شاهد سیلاب‌های عظیمی در اکثر مناطق کشور بوده که بسیاری از آنها، خسارات جانی و مالی فراوانی را به بار می‌آورند. این تحقیق بازهای به طول حدود ۱۰ کیلومتر از رودخانه کر (پایین‌دست ایستگاه هیدرومتری چمریز) انتخاب شد و پس از تهیه آمار حداکثر دبی لحظه‌ای رودخانه در دو حالت قبل و بعد از احداث سد ملاصدرا، اثر احداث سد بر روی جریان رودخانه بررسی شد. سپس با درنظرگرفتن دبی رودخانه به‌ازای دبی با دوره بازگشت ۲۵ سال برای دو حالت قبل و بعد از احداث سد مدل جریان ماندگار رودخانه مذکور توسط نرم‌افزار HEC-RAS تهییه و سپس با یکدیگر مقایسه شدند. در ادامه بر اساس دبی با دوره بازگشت ۲۵ سال بعد از احداث سد اقدام به تعییر ضریب زبری مانینگ به میزان ۵۰ درصد از مقدار اولیه گردید و مجدداً مدل HEC-RAS اجرا گردید. احداث سد نقش بسزایی در کاهش سیلاب رودخانه کر داشته است، بطوری که احداث سد مذکور باعث شده است که برخی از پارامترها مانند تراز سطح آب، سرعت جریان آب، میزان دبی در رودخانه و همچنین سیلاب‌دشت‌های آن کاهش یابد. نتایج آنالیز حساسیت برخی از پارامترها نسبت به ضریب زبری مانینگ نشان داد که با کاهش ضریب زبری مانینگ، برخی از پارامترها نظیر تراز سطح آب و مساحت جریان نیز کاهش و پارامترهای نظیر سرعت جریان آب، دبی رودخانه، دبی رودخانه در ساحل سمت راست و چپ افزایش یابد و بالعکس.

وازگان کلیدی: رودخانه کر، ضریب زبری، HEC-RAS، آنالیز حساسیت

<sup>۱</sup>دانشجوی دکترا، رشته جغرافیا و برنامه‌ریزی، دانشگاه آزاد اسلامی واحد لارستان؛ (نویسنده مسئول)

<sup>۲</sup>دانش‌آموخته کارشناسی ارشد مهندسی آب، واحد لارستان، دانشگاه آزاد اسلامی لارستان، ایران

<sup>۳</sup>دانش‌آموخته کارشناسی ارشد سازه‌های دریائی، دانشگاه آزاد اسلامی واحد علوم تحقیقات تهران، سیرجان، ایران

## مقدمه

رسانید. انجام این تمهیدات خود ملزم به پیش بینی نحوه وقوع سیلاب و مشخصات آن است . اطلاع از میزان و چگونگی تغییرات دبی و حجم در زمان و مکان اهمیت ویژه‌ای در پیش‌بینی سیلاب دارد (عطاری، ۱۳۹۰).

طبق بررسی‌های به عمل آمده بیش از چهل نوع بلای طبیعی در سطح جهان تشخیص داده شده که وقوع ۳۱ مورد آن در ایران ثبت شده است . بر اساس آمار ستاد حوادث غیرمتربقه کشور بالاترین میزان خسارات مالی ناشی از حوادث غیرمتربقه پس از خشکسالی بر اثر سیل بوده است.

برای تعیین عوامل هیدرولیکی نظیر عمق و سرعت جریان، نیاز به تعیین ضریب زبری هیدرولیکی جریان می‌باشد. در کلیه مطالعات مهندسی رودخانه و طراحی سازه‌های متقطع رودخانه نظیر پل‌ها، سدهای انحرافی و یا دهانه‌های آبگیر که دانستن عمق و سرعت جریان ضروری است، تعیین دقیق ضریب زبری موردنیاز خواهد بود. ضریب زبری هیدرولیکی در شرایط متنوع و پیچیده رودخانه‌ها متأثر از عوامل مختلفی می‌باشد، بنابراین تحقیقات گسترهای بر روی شرایط متنوع جریان در رودخانه‌ها صورت پذیرفته و طیف گسترهای از روابط ارائه شده است. به همین علت، شناخت کامل کارشناسان مطالعات مهندسی رودخانه از عوامل مؤثر و شرایط متنوع رودخانه‌ها، مقدم بر تعیین ضریب زبری رودخانه‌ها می‌باشد و تسلط این کارشناسان به انواع روابط تعیین ضریب زبری در شرایط متنوع رودخانه ضروری است.

تلاش دانشمندان و محققان، در جهت درک بهتر از پدیده‌های اساسی که رفتار فرایندهای ژئوفیزیکی در پیش‌گویی وضعیت‌های آتی را کنترل می‌کنند و همچنین ترکیب این وضعیت‌های پیش‌بینی شده برای طراحی، از

رودخانه‌ها و آبراهه‌ها تحت تأثیر عوامل طبیعی و یا دخالت‌های انسان چهار فرسایش بستر، فرسایش کناره‌ها و جابه‌جایی عرضی می‌شوند . فرسایش رودخانه‌ای به نوبه خود موجب بروز خطرات و خسارات عدیدهای برای اراضی مجاور رودخانه‌ها و مستحدثات ساحلی می‌شود، به‌طوری‌که سالانه میلیون‌ها تن از خاک‌های بالارزش اراضی حاشیه رودخانه‌ها چهار فرسایش شده و علاوه بر هدررفتن خاک بالارزش، موجب ازبین‌رفتن زمین‌های کشاورزی و پرشدن مخازن سدها و کاهش عمر مفید آنها و همچنین ایجاد مشکلات زیادی در بهره‌برداری از تأسیسات آبگیری و انتقال آب می‌شود . بستر رودخانه‌ها خاکی است و به همین دلیل یک بستر ناپایدار است و احتمال تغییر در فرم رودخانه به مرور زمان وجود دارد که تغییر فرم باعث واردشدن خساراتی به زمین‌های اطراف می‌شود (عباسی چناری، ۱۳۹۱).

سیل همواره در ایران نیز خسارات جانی و مالی فراوانی به همراه داشته است . در این زمینه می‌توان به سیل سالهای ۱۳۸۰ تا ۱۳۸۴ استان گلستان اشاره نمود که تنها بر اثر سیل مردادماه ۱۳۸۰ حدود ۲۱۷ نفر کشته، صدها نفر بی‌خانمان شده و حدود ۵۰۰ میلیارد ریال به تأسیسات زیربنائی اعم از جاده و پل خسارت وارد شده است (شرکت مهندسین مشاور لار، ۱۳۸۴). وقوع مکرر چنین سیلاب‌هایی در منطقه سبب نگرانی شدید مردم و مسئولین شده تا جایی که بررسی این پدیده و ارائه راهکارهای مؤثر برای مقابله و یا پیشگیری از آن ضروری به نظر می‌رسد . بدیهی است جلوگیری از وقوع سیلاب و یا کنترل کامل آن ناممکن است؛ ولی با اتخاذ تمهیداتی می‌توان خسارات ناشی از آن را به حداقل

زیادی ندارد؛ ولی در بخش پایاب که در دشت جریان  
دارد، دارای عمق بیشتری بوده و دیواره‌های آن در  
عرض فرسایش قرار دارند . بهاین ترتیب وقوع سیلاب  
بیشتر در مناطق پائین اتفاق می‌افتد. اصولاً دو زیرحوضه  
اصلی دریاچه بختگان حوضه‌های کر و سیوند هستند و  
عمده اطلاعات در خصوص سابقه خسارات سیل در این  
مناطقه تفکیک نشده و در قالب شهرها و روستاهای  
استان فارس در محدوده رودخانه‌های کر و سیوند  
جمع آوری شده است.



#### شکل ۴-۱: موقعیت رودخانه کر (منبع: تحقیقات نگارندگان ۱۴۰۱)

مواد و روش‌ها

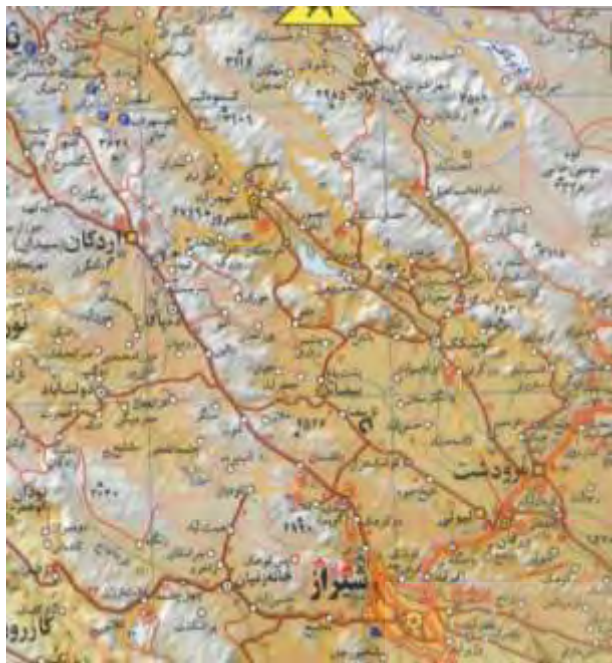
موقعیت جغرافیایی محدوده مورد مطالعه

حوزه آبریز رودخانه کر در استان فارس با مساحتی در حدود ۳۱۵۰۰ کیلومترمربع بین طولهای  $۴۵^{\circ}$  تا  $۳۱^{\circ}$  شرقی و عرضهای  $۲۹^{\circ}۲۲'$  تا  $۳۱^{\circ}۱۵'$  شمالی واقع است. این رودخانه از الحاق سرشاخه‌های تنگ براق و شور

موارد قابل توجه است. از آنجایی که این فرایندها همواره در طبیعت پیچیده و پویا هستند، مدل‌هایی با درجات مختلف ساده‌سازی برای پیش‌بینی رفتار سیستم توسعه یافته‌اند. جهت حفاظت مناسب جامعه و محیط از اثرات وقوع سیلاب مانند: رواناب، فرسایش و آلودگی آب، انتخاب و کاربرد مدل‌های مناسب تجزیه و تحلیل مدیریت سیلاب لازم و ضروری است. از این قبیل مدل‌ها بایستی ارائه مناسبی از رفتارهای هیدرولوژیکی و هیدرولیکی سیستم‌های زهکشی داشته باشند (آدامزو پاپا، ۲۰۰۰). مدل‌های شبیه‌سازی مبنای کامپیوتری دارند که بخشی از معادلات چرخه آب را ارائه می‌دهند و برای پیش‌بینی میزان و عمق جریان آب، پتانسیل شستشو و بار رسوب استفاده می‌شوند. مدل‌های مذکور باید در برگیرنده محاسبات زیری‌های سطحی، مقاومت جریان، حرکت آب، شبیه‌های سطحی، عمق‌های رودخانه و خصوصیات خاک باشند (وسترولت، ۲۰۰۱).

مهمنترین نقش مدل‌های کامپیوتری، امکان پذیر ساختن ارتباط منطقی بین فرایندهای هیدرولوژیکی، هیدرولیکی، کیفیت آب و اقتصادی - اجتماعی با صرف هزینه معقول است. انتخاب مدل مناسب باید پس از ارزیابی همه جانبه نیازها، شناسایی امکانات موجود و بررسی مدل‌های قابل دسترس صورت گیرد. استفاده از مدل‌های کامپیوتری در سیستم‌های جمع‌آوری و تخلیه آب‌های مازاد غالباً باهدف بررسی وضعیت موجود یا تشخیص مشکلات و ارائه روش برای حل مشکلات صورت می‌گیرد (طاهری بهبهانی و بزرگ‌زاده، ۱۳۷۵).

رودخانه کر یکی از زیرحوضه‌های بالادست حوضه دریاچه بختگان است. فرم شبکه آبراهه‌ای در سرشاخه‌ها درختی ولی شبکه اصلی آن به صورت مستطیلی است. بستر این رودخانه در بالادست عمق



شکل ۲: راههای دسترسی به منطقه موردمطالعه (منبع: تحقیقات نگارندگان ۱۴۰۱)



شکل ۳-۱: موقعیت رودخانه کر (منبع: تحقیقات نگارندگان ۱۴۰۱)

شیرین تشکیل شده و تا دریاچه سد درودزن و پس از آن دریاچه بختگان جریان دارد. رودخانه کر با طول ۲۸۳ کیلومتر بزرگ‌ترین رودخانه استان فارس بوده و بالاترین میزان اشتغال در کشاورزی و صنعت منطقه مرودشت، مدیون وجود آن است. منطقه موردمطالعه در این گزارش شامل ۱۰ کیلومتر از طول رودخانه از پل عباس‌آباد تا ۵ کیلومتر بالاتر از پل فلزی به سمت چم شهراب خانی از بخش کام فیروز توابع شهرستان مرودشت می‌باشد. منطقه موردمطالعه در شمال غرب شهرستان شیراز و نیز در فاصله ۳۰ کیلومتری غرب شهرستان مرودشت، در استان فارس واقع شده است.

دسترسی به منطقه موردمطالعه از طریق بزرگراه شیراز، مرودشت و پس از آن جاده آسفالت کوشک، درودزن و کام فیروز امکان‌پذیر است. استفاده از این مسیر باتوجه به مناسب‌بودن جاده و امنیت بزرگراه توصیه می‌شود از مسیر جاده‌ای درجه ۲ شیراز، دوراهی شول، بیضا، دشمن زیاری و در نهایت کام فیروز نیز دستیابی به منطقه در زمان کوتاه‌تری انجام می‌پذیرد و همچنین جاده‌های بین روستاهای و مزارع و باغات امکان دسترسی به بخش‌های مختلف منطقه را فراهم نموده است. شکل ۱-۱ تصویر ماهواره‌ای منطقه و شکل ۲ راهی دسترسی به رودخانه موردنظر را نشان می‌دهد



شکل ۱-۱: موقعیت مکانی محدوده مطالعاتی (منبع: تحقیقات نگارندگان ۱۴۰۱)

ابتدا اطلاعات اصلی که به نحوی بستر لازم برای مدل‌سازی را هموار می‌سازند شامل اطلاعات نقشه‌برداری، اطلاعات هیدرولوژی، اطلاعات مربوط به سازه‌های موجود بر روی رودخانه و ضریب زبری می‌باشد را از سازمان آب، شرکت‌های مشاور و کتابخانه‌های موجود جمع‌آوری نموده و گردآوری می‌کنیم که این اطلاعات به دو دسته تقسیم می‌شود.

#### اطلاعات نقشه‌برداری (اطلاعات مقاطع)

اطلاعات مقاطع عبارت‌اند از پروفیل عرضی هر مقطع رودخانه، اطلاعات دو پل موجود در بازه موردمطالعه و .... در این بازه از رودخانه کر که شامل ۱۰ کیلومتر از پل عباس‌آباد تا  $5$  کیلومتر بالاتر از پل فلزی به سمت چم سه راب خانی از بخش کام فیروز توابع شهرستان مرودشت می‌باشد، اطلاعات  $116$  مقطع عرضی و مقاطع دو دهانه پل‌های مذکور که حساس‌ترین تأسیسات از نظر تأثیرگذاری بر روی هیدرولیک جریان هستند برداشت شد. شکل  $2$  محل شروع عملیات این تحقیق یعنی ایستگاه هیدرومتری پل عباس‌آباد را نشان می‌دهد.



شکل  $2$ : نمایی از ایستگاه هیدرومتری پل عباس‌آباد به همراه پل تله فریک (منبع: تحقیقات نگارندگان  $1399$ ) اطلاعات مقاطع شامل  $X$  و  $Y$  مقاطع، ضریب زبری مانینگ مقاطع، فاصله بین دو مقطع شامل ساحل چپ، ساحل راست و میان رودخانه و اطلاعات مربوط به پل‌ها شامل مشخصات عرضه پل پایه‌های پل و نیز شبکه کناری پل می‌باشد. برداشت مقاطع عرضی جهت تشابه هرچه بیشتر مدل در مکان‌های زیر انجام شده است:

#### روش تحقیق

#### جمع‌آوری و گردآوری اطلاعات

طی سال‌های اخیر نرم‌افزارهای زیادی همانند **HEC-RAS**, **SEFLOW**, **STARS**, **ISIS**, **MIKE11**, **Kntrol** غیره جهت شبیه‌سازی، مدیریت بهره‌برداری، کنترل رسوب و غیره برای رودخانه‌ها تهیه شده است. یکی از بسته‌های نرم‌افزاری مهندسی رودخانه مطرح در سطح دنیا **HEC-RAS** می‌باشد که این مدل از  $6$  مدل فرعی جهت محاسبات هیدرولوژیکی، مشخصه‌های جریان، حجم مخزن سدها، شبیه‌سازی جریان ماهانه رودخانه‌ها و مدیریت بهره‌برداری از مخازن و تغییرات ریخت‌شناسی بستر رودخانه ناشی از رسوب‌گذاری تشکیل شده است (عبداللهی،  $1385$ ).

با عنایت به قابلیت دسترسی و استفاده رایگان از این مدل و قابلیت اجرا در محیط ویندوز و جدول‌بندی و نمایش گرافیکی داده‌های ورودی و خروجی و همچنین سادگی استفاده و مدل‌سازی و سایر ویژگی‌های مدل **HEC-RAS** می‌تواند مدل مناسبی جهت انجام کارهای تحقیقاتی باشد (جلی فرد،  $1381$ ).

به طور کلی برای انجام این تحقیق مراحل زیر صورت می‌گیرد:

۱. انتخاب بازه‌ای به طول حدود  $25$  کیلومتر
۲. تعیین حداکثر دبی لحظه‌ای رودخانه کر با دوره بازگشتهای مختلف.
۳. تهیه داده‌های اولیه مدل **HEC-RAS** توسط نرم‌افزار **ArcGIS** و برنامه‌های الحاقی آن مانند برنامه **.HEC-GEO-RAS**.
۴. انتخاب ضریب زبری اولیه برای کف رودخانه و همچنین سیلاب‌دشت‌های سمت راست و چپ آن بر اساس مشاهدات میدانی.
۵. مدل‌سازی جریان رودخانه کر به‌ازای حداکثر دبی لحظه‌ای با دوره بازگشت  $25$  سال
۶. آنالیز حساسیت ضریب زبری در مدل **HEC-RAS** و بررسی اثر ضریب زبری بر روی برخی از پارامترهای هیدرولیکی جریان.

مختلف اکتفا گردیده است . با بررسی اطلاعات ایستگاه‌های هیدرومتری واقع بر رودخانه کر در نهایت از بین ایستگاه‌های واقع بر روی رودخانه کر ایستگاه چمریز درجه یک بوده و مجهز به امکانات لمینوگراف، پل تلفریک و اشل می‌باشد.

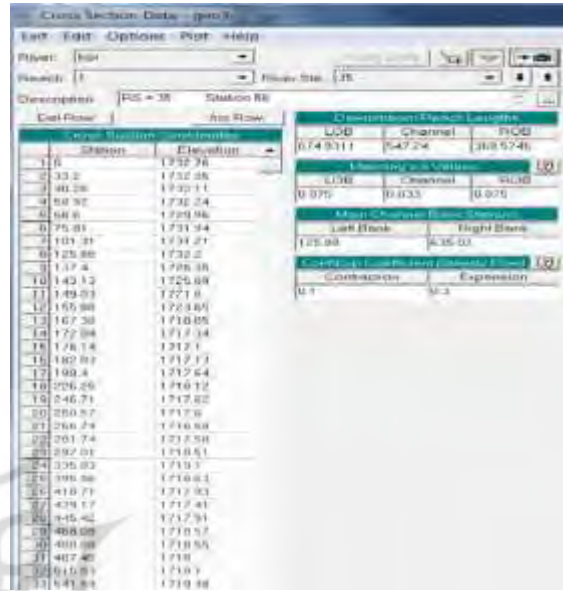
**برآورد طفیان‌ها با دوره برگشت مختلف در شرایط رژیم طبیعی در بازه موردمطالعه**

تعیین رژیم سیلابی رودخانه کر با دو هدف تعیین دبی اوج سیلاب با دوره بازگشت‌های مختلف و به دست آوردن هیدروگراف‌های سیل با دوره بازگشت‌های مختلف در ایستگاه‌های آبسنجی انجام یافته است. در این راستا آمار و اطلاعات مربوط به دبی حداکثر روزانه و حداکثر لحظه‌ای ایستگاه‌های منتخب تا سال ۹۳-۹۴ جمع‌آوری شد.

تکمیل، تصحیح و یا حذف آمار و اطلاعات مشکوک مربوط به دبی حداکثر روزانه و لحظه‌ای، در این راستا در صورت نیاز با بهره جستن از روابط همبستگی بین دبی حداکثر روزانه و ایستگاه موردنظر با سایر ایستگاه‌ها و انتخاب مناسب‌ترین رابطه و متجانس‌ترین ایستگاه‌ها به این مهم پرداخته شد . پس از تکمیل آمار دبی حداکثر روزانه، رابطه رگرسیون دبی حداکثر روزانه با دبی حداکثر لحظه‌ای در هر ایستگاه تعیین گردید و برای اساس دبی حداکثر لحظه‌ای مفقود در هر ایستگاه تعیین شد.

در این راستا بر اساس ارقام دبی حداکثر لحظه‌ای در ایستگاه‌های منتخب و بهره جستن از نرم‌افزار SMADA به برآورد دبی با دوره بازگشت‌های مختلف در هر ایستگاه اقدام گردید . نتایج حاصل برای ایستگاه چمریز به صورت جدول زیر است. (جدول ۱)

در مکان‌هایی که پیچ رودخانه شروع شده و در وسط پیچ و انتهای پیچ‌ها در نقاطی که تغییر محسوس در عرض و یا شیب رودخانه به وجود آمده است در کنار روستاهای دلیل اهمیت تعیین بستر و حریم در این محدوده‌ها



شکل ۳: نمونه‌ای از اطلاعات وارد شده به یک مقطع عرضی

(منبع: تحقیقات نئانندگان ۱۴۰۱)

#### اطلاعات جریان

عبارت‌اند از دبی‌های با دوره بازگشت چندساله و عمق نرمال اطلاعات هیدرولوژی به عنوان شرایط مرزی در روندیابی هیدرولیکی رودخانه مورداستفاده قرار می‌گیرد. میزان دبی اوج سیلاب با دوره بازگشت‌های مختلف در سرشاخه‌های ورودی و در نقاط مختلف در طول رودخانه موردنیاز می‌باشد . در این محدوده ایستگاه‌های آبسنجی زیر از اهمیت ویژه‌ای برخوردار هستند.

ایستگاه تنگ براق

ایستگاه جمال بیگ شور خارستان

ایستگاه جمال بیگ شور شیرین

ایستگاه منجان

ایستگاه بادامک

ایستگاه چمریز

در محاسبات با توجه به موقعیت آبراهه ذکر و مصارف آن ( در نتیجه فصلی بودن آن ) او آمار موجود تنها به استفاده از مقادیر دبی سیلاب در دوره بازگشت‌های

شبیه‌سازی می‌کند. در مدل HE-RAS روندیابی رسوب با استفاده از معادله اکسنر ۱ صورت می‌گیرد. معادله بقای جرم برای رسوب با توجه به معادله اکسنر به صورت رابطه (۱-۱) می‌باشد:

$$(1 - \lambda_p)B \frac{\partial \eta}{\partial t} = - \frac{\partial Q_s}{\partial x}$$

به‌طورکلی در HEC RAS یک پروژه مجموعه‌ای از فایل‌های داده‌های مرتبط با یک سیستم رودخانه خاص می‌باشد. کاربر می‌تواند یک یا چند نوع مختلف تحلیل‌هایی که دربسته نرمافزاری HEC RAS گنجانده شده است را به عنوان بخشی از پروژه انجام دهد (غلامی و خلیلی، ۱۳۹۴).

#### مولفه‌های تحلیل هیدرولیکی

محاسبات هیدرولیکی برای مقطع عرضی، پل‌ها، کالورت‌ها و سایر سازه‌های هیدرولیکی دیگری که برای مؤلفه جریان ماندگار تهیه شده بودند، در مدول جریان غیرماندگار نیز تعییه شده‌اند.

این مدل برای شبیه‌سازی روندهای بلندمدت آبشتستگی و رسوب‌گذاری در یک آبراهه که ممکن است از اصلاح فراوانی و مدت دیگر و عمق جریان آب با اصلاح هندسه کanal ناشی شود، طراحی شده است. از این سیستم می‌توان برای ارزیابی رسوب‌گذاری در مخازن، طراحی بخش‌های همگرا شونده کنانل که برای تشییت عمق آب جهت کشتیرانی لازم می‌باشد، پیش‌بینی اثر لایروبی بر میزان رسوب‌گذاری تخمین حداکثر آبشتستگی ممکن در طی رخداد سیلاب‌های بزرگ و ارزیابی و رسوب‌گذاری در کanal‌های غیر فرسایشی استفاده نمود (غلامی و خلیلی، ۱۳۹۴).

**چگونگی ایجاد یک مدل هیدرولیکی در HEC-RAS** وارد کردن داده‌های جریان و شرایط مرزی اعم از انواع پروفیل‌ها و دیگر مربوط به هر کدام، موقعیت‌هایی که دیگر تغییر می‌کند، شرایط مرزی (منظور از داده‌های شرایط مرزی انتخاب یکی از موارد: سطح آب معلوم، عمق بحرانی،

جدول (۱): دیگر لحظه‌ای با دوره بازگشت‌های مختلف

در ایستگاه چمریز

سال

دوره بازگشت	هزینه آماری منطقه
۲۰	۱۰
۱۰	۵۰
۵	۲۵
۳	۱۰
۲	۵
.	.
۱۳	۱۲
۱۲	۱۰
۱۰	۹۲
۹۲	۷۲
۷۲	۵۷
۵۷	۴۵
۴۵	۳۴
۳۴	۲۷
۲۷	۰۶
۰۶	۶۲
۶۲	۲۰
۲۰	۹۰
۹۰	۷۰
۷۰	۶
۶	۲
۲	۱
۱	۱

محاسبه تأثیر مخزن سد ملاصدرا بر سیلاب‌های رودخانه کر

سیلاب‌های طبیعی (ابعاد هیدروگراف) رودخانه کر در بالادست سد ملاصدرا به کمک آمار دیگر سیل ایستگاه تنگ برآق محاسبه و به عنوان سیلاب‌های ورودی مخزن سد ملاصدرا در نظر گرفته شده است. محاسبه تأثیر مخزن سد در مقابل سیلاب‌های مذکور که به نام روندیابی سیلاب در مخزن معروف است که توسط سیستم مدل‌سازی هیدرولوژیکی حوزه‌ها و بر اساس سیلاب‌های با دوره بازگشت مختلف انجام شده و نتایج آن آورده خواهد شد.

#### مدل HEC-RAS

مدل HEC RAS توسط اداره مهندسی ارتش آمریکا (USACE) توسعه یافته و در آخرین نگارش خود علاوه بر قابلیت‌های قبلی توانایی تحلیل فرایند رسوب، فرسایش و کیفیت را نیز دارا می‌باشد.

این نرمافزار یک مدل یک بعدی برای شبیه‌سازی جریان و رسوب می‌باشد و تغییرات پروفیل طولی بستر رودخانه را در اثر رسوب‌گذاری و فرسایش برای دوره‌های طولانی مدت

داده‌ها بزرگ‌تر و کوچک‌تر هستند و ستون پنجم مجموع دنباله‌ها، ستون ششم حد مجاز برای همین بودن سری زمانی و ستون ۷ نتیجه آزمون همگنی را نشان می‌دهد.

جدول (۲): داده‌های سری زمانی

نتیجه	حد	تعداد	تعداد	تعداد	میانگین	نام
مجاز	حال	داده‌های	داده‌ها	(متراکع)	ایست	
ات	کوچک	ی	بر	ب	گاه	
	بالاتر از ثانیه)	تر از				
	میانگین	میانگی				
	متراکع	ن				
	بر					
	ثانیه					
همگ	۲۷-	۲۰	۱۹	۲۰۴۷.۵	چمر	
ن	۱۳	۲۰	۶		بیز	

تعیین دبی با دوره بازگشت ۲۵ سال قبل از احداث سد به منظور تعیین میزان سیالاب رودخانه کر بهازای دبی با دوره بازگشت‌های مختلف و همچنین قبل از احداث سد کر، پس از بررسی همگنی و همچنین آزمون داده‌های پرت سری زمانی حداکثر دبی لحظه‌ای این رودخانه در ایستگاه آب‌سنجدی چمریز، اقدام به برآش ۶ توزیع آماری به نام‌های نرمال (N)، لوگ نرمال ۲ پارامتری (LN(۲P))، لوگ نرمال ۳ پارامتری (LN(۳P))، پیرسون تیپ ۳ (P۳)، لوگ پیرسون تیپ ۳ (LP۳) و گامبل (G) بر روی این سری زمانی توسط نرم‌افزار ۶ SMADA گردید. بر اساستابع چگالی احتمال تابع توزیع احتمالاتی لوگ پیرسون تیپ ۳، میزان سیالاب رودخانه مذکور بهازای دوره بازگشت‌های ۲، ۱۰، ۲۵، ۵۰ و ۱۰۰ سال به ترتیب برابر با ۱۸۶۹/۴۱، ۳۷۳۰/۵۱، ۴۴۱۰/۵۴، ۴۴۱۰/۲۶، ۴۸۱۴/۲۶ و ۵۱۴۴/۲۰ و مترمکعب بر ثانیه به دست آمد (شکل‌های ۴ تا ۸).

عمق نرمال، منحنی سنجه به عنوان شرط مرزی برای انجام محاسبات هیدرولیکی است).

#### کالیبراسیون و ارزیابی هیدرولیکی جربان در مدل- RAS

اصل‌اولاً پس از تهییه و ورود اطلاعات هیدرولیکی، هیدرولوژیکی و هندسی به هر مدل رودخانه و اجرا مدل، جواب‌های خروجی از مدل باید مورد بررسی قرار گیرند و با یکسری از اطلاعات صحیح ثبت شده این جواب‌ها مقایسه گردد و اختلاف بین این جواب‌ها و اطلاعات ثبت شده را تعیین نمود و سپس با استفاده از یک پارامتر مناسب این اختلاف را کاهش داد تا به یک مقدار قابل قبول رسید.

#### منحنی دانه‌بندی خاک

فرایند دانه‌بندی خاک بر اساس دستور کار سامانه اتحادیه دسته‌بندی خاک یا سامانه دسته‌بندی خاک آشتو صورت می‌گیرد. به این ترتیب که لندازه دانه‌های خاک و توزیع آن را بدست می‌آورند و منحنی نتایج آزمون‌های آزمایشگاهی را رسم می‌کنند. سپس ضریب‌های یکنواختی Cu و انحنا Cc را بدست می‌آورند و آن‌ها را با حدودی دانه‌بندی که در دسترس است مقایسه می‌کنند (گرگین پور و لیاقت، ۱۳۹۳).

#### ضریب زیری

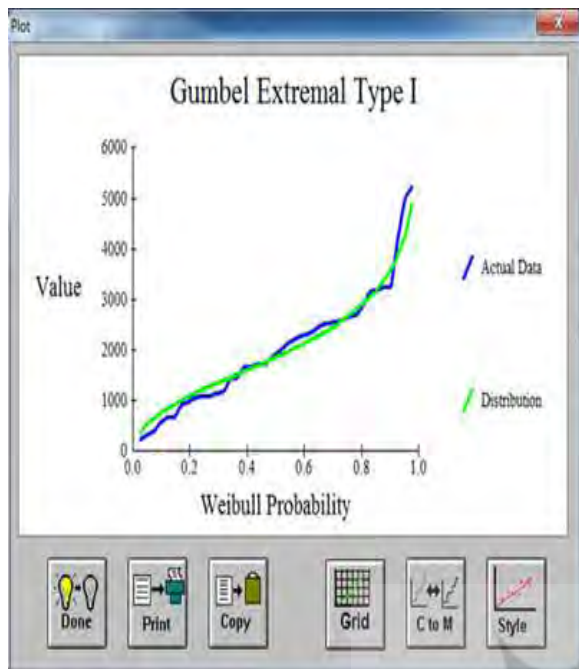
در این تحقیق به منظور تعیین ضریب زیری کف رودخانه کر، از رابطه استری کلر ۲ (رابطه ۱-۲) استفاده خواهد شد (گرگین پور و لیاقت، ۱۳۹۳) :

$$\text{رابطه ۱-۲} \quad n = 0.0474 d^{\frac{1}{6}}_{50}$$

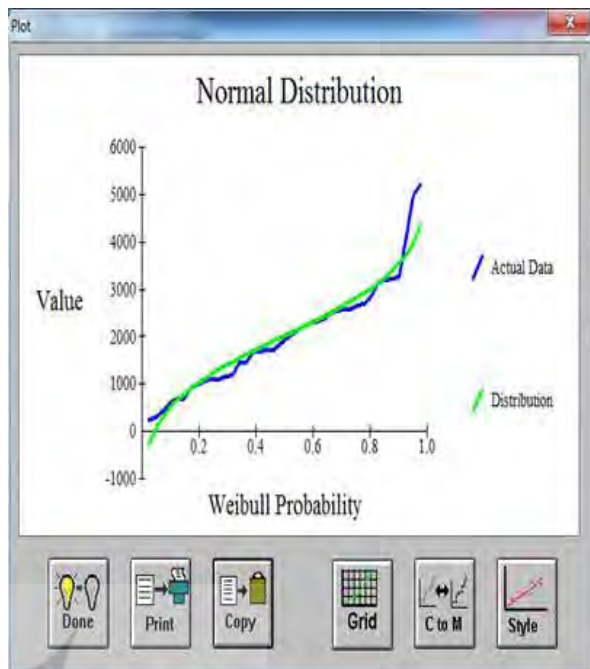
#### نتایج

##### همگنی (تصادفی بودن) داده‌ها

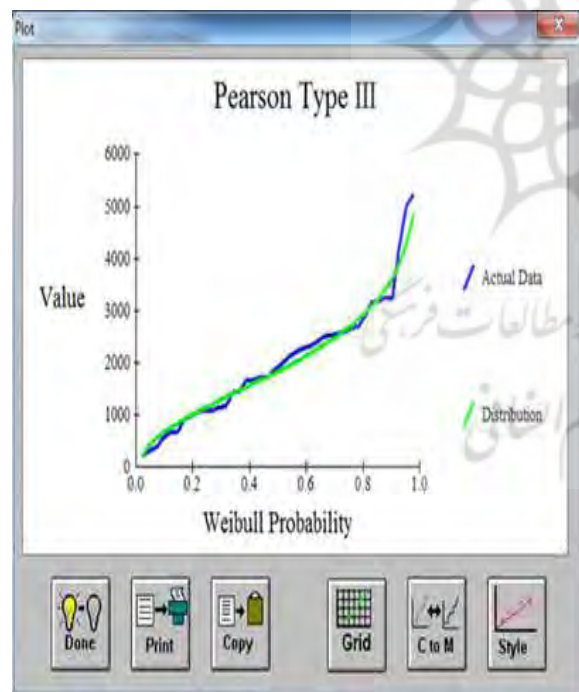
به منظور بررسی همگنی (تصادفی بودن) داده‌های سری زمانی حداکثر دبی ایستگاه‌های آب‌سنجدی چمریز از آزمون همگنی ران تست استفاده گردید. محتویات جدول (۲) نتایج آزمون ران تست را نشان می‌دهد. در این جدول ستون دوم میانگین سری زمانی، ستون سوم و چهارم به ترتیب تعداد داده‌هایی که در سری زمانی از میانگین



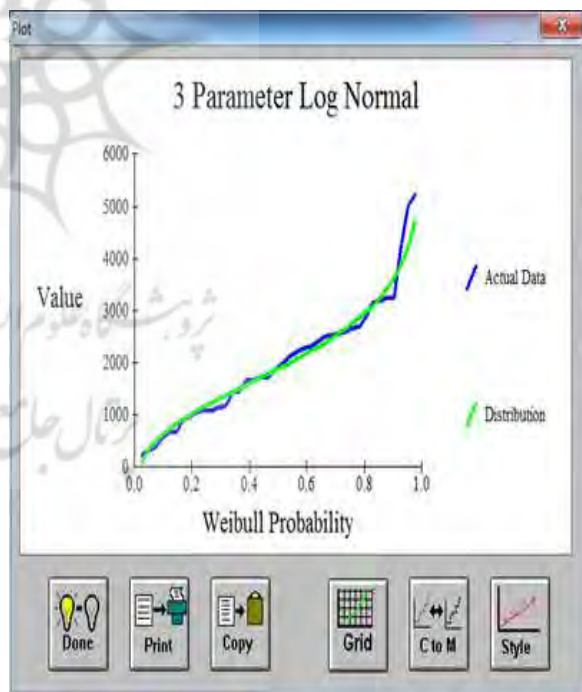
شکل ۶: برآذش توزیع آماری گامبل با داده‌ها (منبع: تحقیقات نگارندگان ۱۴۰۱)



شکل ۴: برآذش توزیع آماری نرمال با داده‌ها (منبع: تحقیقات نگارندگان ۱۴۰۱)



شکل ۷: برآذش توزیع آماری پیرسون با داده‌ها (منبع: تحقیقات نگارندگان ۱۴۰۱)



شکل ۵: برآذش توزیع آماری نرمال ۳ پارامتری با داده‌ها (منبع: تحقیقات نگارندگان ۱۴۰۱)

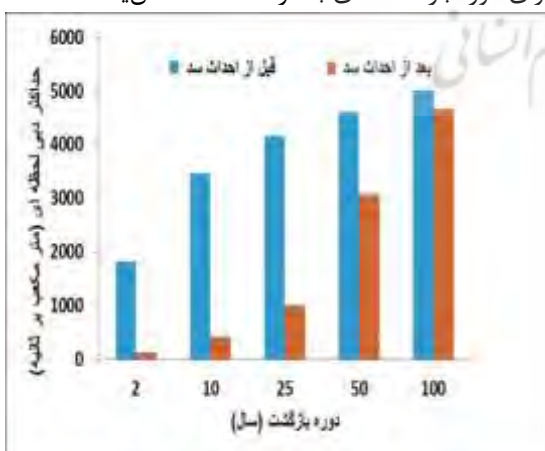
این گزارش مقادیر سیلاب رودخانه کر در شرایط تنظیمی به صورت جدول (۳) می‌باشد.

جدول (۳): مقادیر سیلاب رودخانه کر

قطع زمانی						دوره بازگشت (سال)
۱۰۰	۵۰	۲۵	۱۰	۲		
۴۶۷	۳۰۷	۱۰۰	۴۲	۱۳		دبی سیلاب (مترمکعب در ثانیه)
.	۷	۰	۰	۰		(ثانیه)

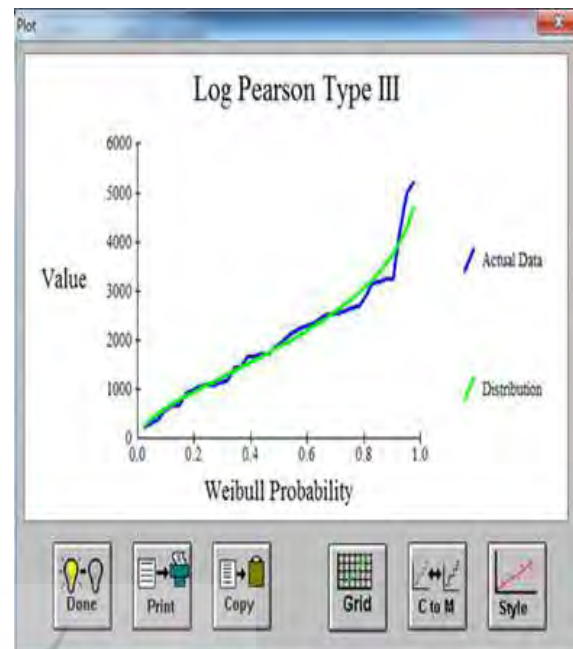
مقایسه سیلاب رودخانه کر در دو حالت قبل و بعد از احداث سد ملاصدرا

با مقایسه مقادیر دبی سیلابی رودخانه کر قبل از احداث سد و بعد از احداث سد مشخص می‌گردد که سیلاب رودخانه به‌ازای دوره بازگشت‌های مختلف به‌شدت کاهش می‌یابد. به طوری که سیلاب دوساله که در حالت طبیعی رودخانه ۱۸۲۹ مترمکعب در ثانیه بوده است، با احداث سد به ۱۳۰ مترمکعب در ثانیه کاهش یافته است که حدود ۱۴ برابر تنزل را نشان می‌دهد. برای دوره بازگشت ۱۰ مقدار تنزل دبی حدود ۸ برابر را نشان می‌دهد. به عبارت دیگر هر چه دوره بازگشت بزرگ‌تر می‌شود میزان سیلاب طبیعی و تنظیمی به هم نزدیک‌تر می‌گردد. این مسئله در شکل (۱۰) به‌وضوح دیده می‌شود. همان‌طوری در شکل نمایان است کاهش دبی برای تا دوره بازگشت ۲۵ ساله زیاد بوده؛ ولی برای دوره بازگشت‌های بالاتر اختلاف کاهش یافته است.

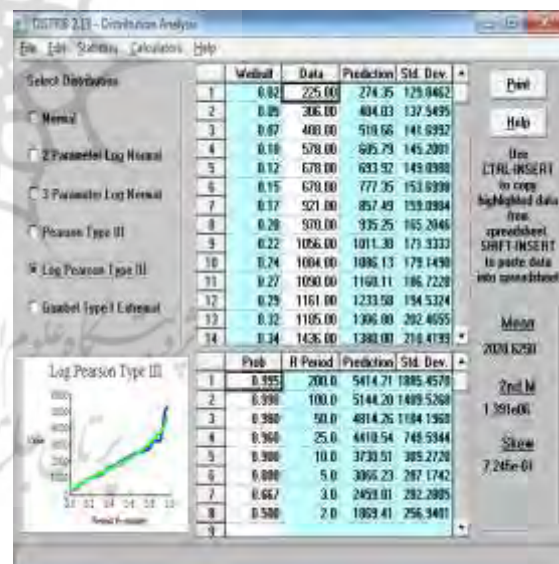


شکل ۱۰: مقایسه سیلاب‌های رودخانه کر قبل و بعد از احداث

سد ملاصدرا (منبع: تحقیقات نگارندگان ۱۴۰۱)



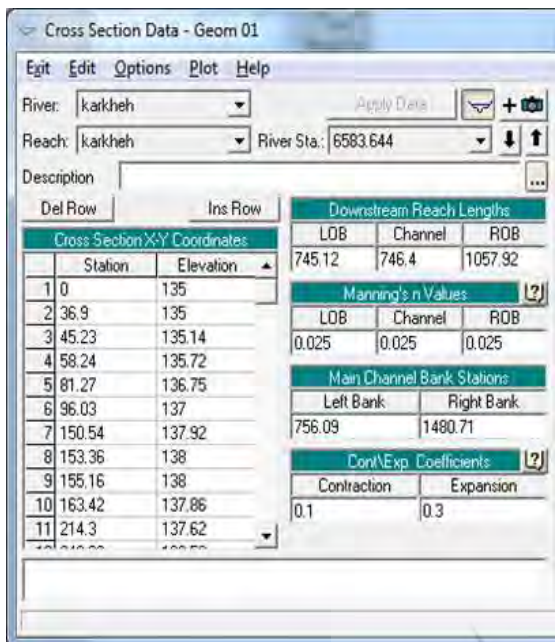
شکل ۸: برآورد توزیع آماری لوگ پیرسون با داده‌ها (منبع: تحقیقات نگارندگان ۱۴۰۱)



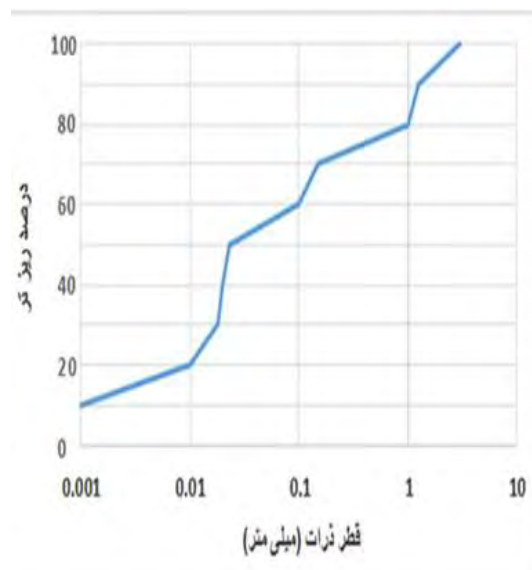
شکل ۹: نتایج توزیع‌های آماری در نرم‌افزار SMADA

تعیین دبی با دوره بازگشت ۲۵ سال بعد از احداث سد (منبع: تحقیقات نگارندگان ۱۴۰۱)

به منظور تعیین دبی حداکثر سیلاب لحظه‌ای ایستگاه هیدرومتری چمریز بعد از احداث سد کر از گزارش دستورالعمل بهره‌برداری از سد مخزنی کر که توسط سازمان آب استان فارس تهیه شده است، بهره گرفته شد. بر اساس

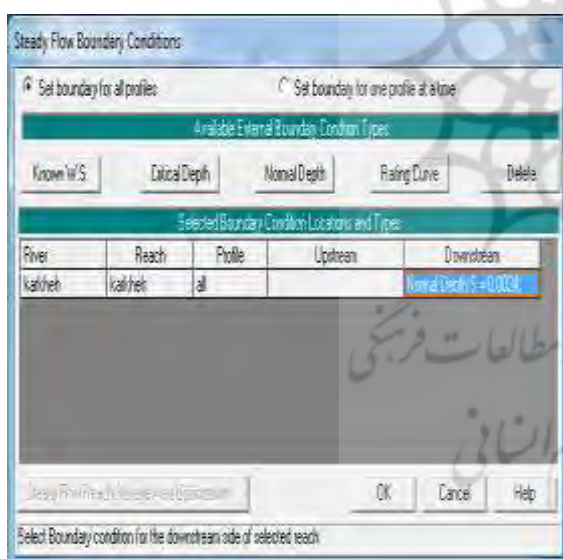


شکل ۱۲: وارد کردن داده‌های مربوط به ضریب زبری رودخانه  
کر (منبع: تحقیقات نگارندگان ۱۴۰۱)



شکل ۱۱: منحنی دانه‌بندی خاک رودخانه کر

مدل‌سازی جریان رودخانه قبل از احداث سد ملاصدرا (منبع:  
تحقیقات نگارندگان ۱۴۰۱)



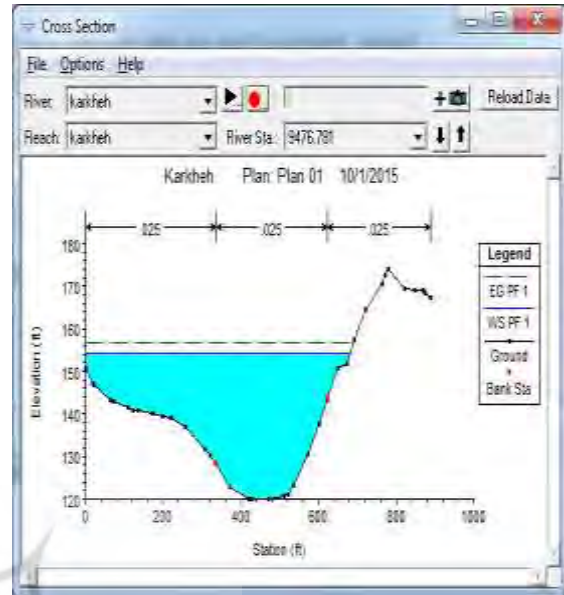
شکل ۱۳: وارد کردن داده‌های مربوط به ضریب زبری رودخانه  
کر (منبع: تحقیقات نگارندگان ۱۴۰۱)

شکل (۱۳) مکان وارد نمودن شیب رودخانه در پایین دست ایستگاه هیدرومتری چمریز به عنوان شرایط مرزی پایین دست جریان را نشان می‌دهد. پس از وارد نمودن داده‌های موردنیاز و همچنین شرایط مرزی جریان در بالا و پایین دست رودخانه کر، مدل HEC-RAS اجرا گردید.

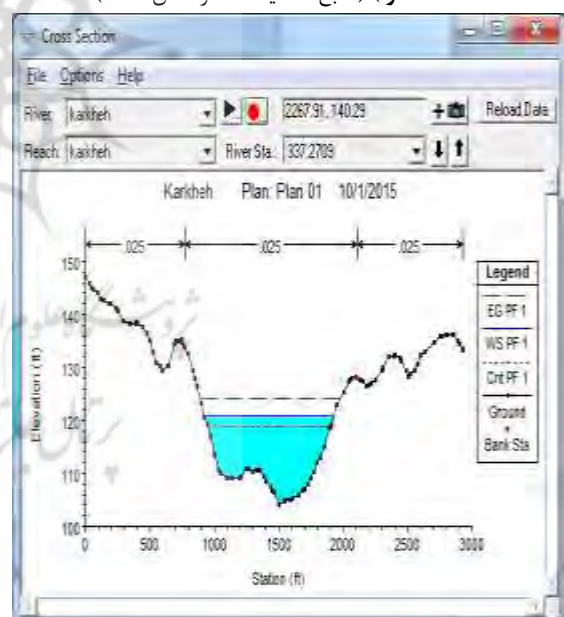
به منظور مدل‌سازی جریان رودخانه کر قبل از احداث سد ملاصدرا، داده‌های هندسی رودخانه که توسط برنامه HEC-GEO-RAS تهیه شده بود وارد محیط نرم‌افزاری HEC-RAS وارد نرم‌افزار HEC-RAS شد و زبری مانیگ کف رودخانه و همچنین دشت‌های سیلابی سمت چپ و راست هر یک از مقاطع عرضی رودخانه وارد نرم‌افزار گردید. در ادامه از حداکثر دبی لحظه‌ای با دوره بازگشت ۲۵ سال به عنوان شرایط مرزی بالادست و از روش عمق نرمال نیز برای شرایط مرزی پایین دست جریان استفاده شد. خاطرنشان می‌شود که در روش عمق نرمال فقط کافی است که شیب رودخانه در پایین دست ایستگاه هیدرومتری چمریز وارد نرم‌افزار گردد. شکل (۱۲) نحوه وارد نمودن ضریب زبری کف و دشت‌های سیلابی یکی از مقاطع عرضی رودخانه کر را نشان می‌دهد.

نوبتی	دلیل رودخانه	ساحت مساحتی (M²)	ساعت جویان (M/S)	نمای اندیز (M)	نمای رودخانه (M)	نمای سطح آب (M)	قوه مستقر (M)	فاصله از ایستگاه (M)	مقاطعه رودخانه
۱	۹ ۵ ۰ ۴ ۴ ۴ - ۴ ۳ ۰ .								
۲	۴ ۷ . ۴ ۲ ۲ ۲ ۶ .								
۳	۲ ۶ ۳ ۵ . . . . .								
۴	۳ ۲ ۶ ۵ ۸ ۸ ۵ ۵								
۵	۸ ۹ ۱ ۱ ۱ ۳ ۸								
۶	۳ ۹ ۲ ۰ ۵ ۴ ۴ - ۴ ۳ ۳								۲
۷	۳ ۶ ۷ . ۸ ۲ ۲ ۲ ۴ ۶								
۸	۶ ۸ ۸ ۲ ۶ . . . . .								
۹	۷ ۹ ۳ ۴ ۷ ۷ ۵ ۲ ۲								
۱۰	۵ ۱ ۱ ۴ ۴ ۸ ۰ ۱								
۱۱	- ۹ ۸ ۰ ۲ ۴ ۴ ۴ ۳ ۸								۳
۱۲	۱ ۲ . . ۲ ۲ ۱ ۱ ۷ ۵								
۱۳	۷ ۲ ۹ ۵ . . . . .								
۱۴	۷ ۵ ۹ ۰ ۵ ۵ ۳ ۳ ۳ ۷								
۱۵	۵ ۱ ۱ ۶ ۶ ۱ ۱ ۱ ۶ ۶								
۱۶	۶ ۹ ۱ ۰ ۶ ۴ ۴ - ۴ ۳ ۱								۴
۱۷	۶ ۷ ۳ . ۹ ۱ ۱ ۱ ۱ ۳ ۵								
۱۸	۵ ۹ . ۴ ۲ ۰ . . . . .								
۱۹	۸ ۶ ۳ ۸ ۴ ۴ ۲ ۸ ۸ .								
۲۰	۹ ۲ ۰ . ۰ ۰ ۹ ۳ ۷								
۲۱	- ۸ ۱ ۰ ۲ ۴ ۴ ۴ ۴ ۳ ۲								۵
۲۲	۹ ۰ . ۲ ۱ ۱ ۱ ۰ ۰ ۶ ۲								
۲۳	۹ ۰ . ۸ ۹ . . . . .								
۲۴	۵ ۴ ۹ ۹ ۹ ۱ ۱ ۰ ۰ ۱ ۵ .								
۲۵	۳ ۷ ۱ ۹ ۹ ۹ ۹ ۹ ۴ ۶								
۲۶	۵								
۲۷	- ۹ ۹ . ۰ ۷ ۳ ۳ - ۳ ۳ ۲								
۲۸	۹ ۷ . ۹ ۹ ۹ ۸ ۳ ۸								
۲۹	. ۹ ۲ ۷ . . . . .								
۳۰	۲ ۲ ۶ ۰ ۰ ۹ ۸ ۳ .								
۳۱	۱ ۹ ۰ ۹ ۷ ۷ ۸ ۳ ۱								
۳۲	۱ ۹ - ۰ ۲ ۳ ۳ ۳ ۳ ۳								
۳۳	۴ ۸ . ۵ ۸ ۸ ۷ ۸ ۴ ۶								
۳۴	۱ ۵ . ۸ ۱ . . . . .								
۳۵	۳ ۵								

شکل های (۱۴) و (۱۵) عمق آب در رودخانه کر را در محل مقطع عرضی شماره یک و شماره ۱۳ نشان می دهد.

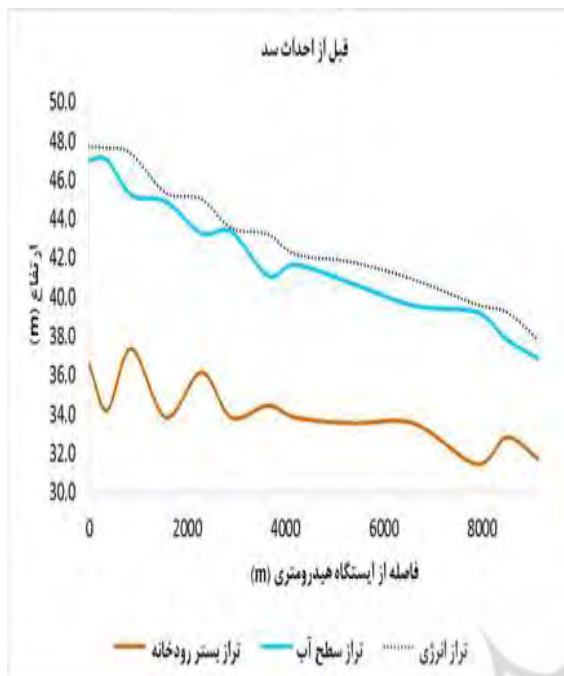


شکل ۱۴: عمق آب در مقطع عرضی شماره یک (قبل از احداث سد ملاصدرا) (منبع: تحقیقات نگارندگان ۱۴۰۱)



شکل ۱۵: عمق آب در مقطع عرضی شماره ۱۳ (قبل از احداث سد ملاصدرا) (منبع: تحقیقات نگارندگان ۱۴۰۱)

محتویات جدول (۴) برخی از پارامترهای جریان رودخانه کر را قبل از احداث سد ملاصدرا نشان می دهد.  
جدول (۴): پارامترهای جریان رودخانه کر



شکل ۱۶: تراز بستر رودخانه، تراز سطح آب و تراز خط انرژی رودخانه کر قبل از احداث سد ملاصدرا(منبع: تحقیقات نگارندگان ۱۴۰۱)



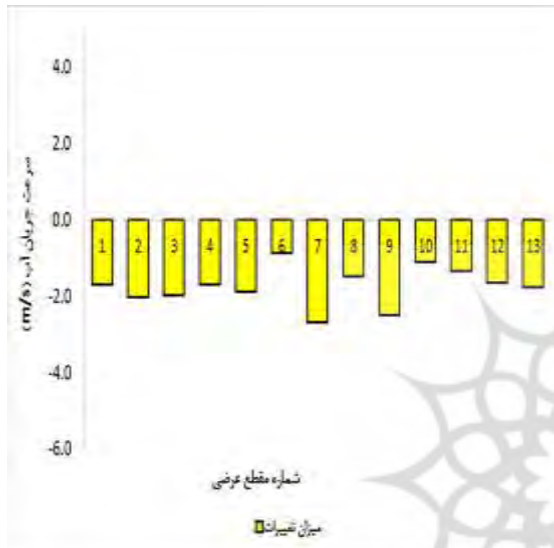
شکل ۱۷: میزان دبی رودخانه کر قبل از احداث سد ملاصدرا(منبع: تحقیقات نگارندگان ۱۴۰۱)

شکل (۱۷) میزان دبی موجود در رودخانه را نشان می‌دهد. همان‌طور که ملاحظه می‌شود میزان دبی از ابتدای بازه رودخانه تا انتهای آن روندی صعودی دارد. دلیل این امر این

۸	۴	۸	۸	۸	۰	۴	۵
۷	۶	۸	۸	۶	۴	۴	۵
-	۱	-	۰	۵	۳	۳	۴
.	.	.	۱	۸	۸	۸	۳
.	۳	۰	.	.	.	.	۹
۰.	۵	۹	۵	۵	۳	۸	۹.
.	۶	۰	۰	۱	۳	۹	
.	.	.	.	.	۳		
-	۱	-	۰	۴	۳	۳	۵
.	.	.	۶	۸	۸	۸	۳
.	۴	۷	.	.	.	.	۴
۰.	۰	۷	۲	۲	۰	۵	۰..
.	۵	۹	۹	۶	۳	۳	
.	.	.	.	۷			
-	۱	-	۱	۲	۳	۳	۶
.	.	.	۳	۷	۷	۶	۳
.	۰	۴.	.	.	.	.	۰.
۰.	۰	۶	۶	۶	۷	۷	۵
.	۳	۵	۵	۲	۲	۳	۴
.	.	.	۳	۵	۵	۲	۳
-	۱	-	۰	۷	۳	۳	۷
.	.	.	۰	۶	۶	۶	۱
.	۲	۱.	.	.	.	.	۸
.	۷	۵	۶	۶	۵	۴	۳.
.	۹	۸	۸	۸	۸	۴	۸
.	.	.	.	۷			
-	۱	-	۰	۲	۳	۳	۸
.	.	.	۷	۶	۶	۵	۵
.	۹	۷.	.	.	.	.	۰.
.	۹	۶	۴	۴	۸	۸	۳.
.	۶	۷	۷	۰	۰	۲	۴
.	.	.	۳	۳	۳	۳	
-	۱	-	۰	۳	۳	۳	۹
.	.	.	۸	۴	۴	۴	۱
.	۶	۴.	.	.	.	.	۳
۰.	۷	۴	۹	۹	۱	۵	۹.
.	۶	۳	۳	۹	۸	۰	۵
.	.	.	۱	۱	۱	۱	

شکل (۱۶) تراز بستر رودخانه، تراز سطح آب و تراز خط انرژی رودخانه کر را بهازای دبی با دوره بازگشت ۲۵ سال قبل از احداث سد ملاصدرا(منبع: تحقیقات نگارندگان ۱۴۰۱) نشان می‌دهد. حداقل و حداکثر عمق جریان به ترتیب در حوالی مقطع شماره ۱۲ و ۲ مشاهده می‌شود.

شکل (۱۹) سرعت جریان آب در رودخانه کر را در دو حالت قبل و بعد از احداث سد ملاصدرا نشان می‌دهد. همان‌طور که ملاحظه می‌شود سرعت جریان آب پس از احداث سد کاهش چشمگیری داشته است. به‌طوری که در مقطع شماره یک (ورودی بازه رودخانه) و ۱۳ (خروجی بازه رودخانه) سرعت جریان آب به ترتیب به میزان  $1/68$  و  $1/75$  متر کاهش یافته است.



شکل ۱۹: سرعت جریان آب رودخانه کر در قبل و بعد از احداث سد ملاصدرا (منبع: تحقیقات نگارندگان ۱۴۰۱)

#### مقایسه عدد فرود

شکل (۲۰) میزان عدد فرود در رودخانه کر را در دو حالت قبل و بعد از احداث سد ملاصدرا نشان می‌دهد. همان‌طور که ملاحظه می‌شود میزان عدد فرود پس از احداث سد کر کاهش چشمگیری داشته است. اما در برخی مقاطع مانند مقطع‌های شماره ۳ و ۱۰ عدد فرود افزایش یافته است.

است که در بازه ورودی مقداری از دبی حداکثر لحظه‌ای سیلاب با دوره بازگشت ۲۵ سال در دشت‌های سیلایی جریان پیدا می‌کنند و در انتهای بازه دبی بیشتر در رودخانه اصلی جریان پیدا می‌کند.

#### مقایسه پارامترهای هیدرولیکی جریان در دو حالت قبل و بعد از احداث سد

به منظور بررسی اثر احداث سد ملاصدرا بر روی برخی از پارامترهای هیدرولیکی جریان رودخانه کر (پایین‌دست سد)، نتایج حاصل از شبیه‌سازی جریان رودخانه کر به‌ازای حداکثر دبی لحظه‌ای با دوره بازگشت ۲۵ سال در دو حالت قبل و بعد از احداث سد مورد مقایسه قرار گرفتند. اهم نتایج حاصل از مقایسات به شرح موارد زیر می‌باشد:

#### مقایسه تراز سطح آب

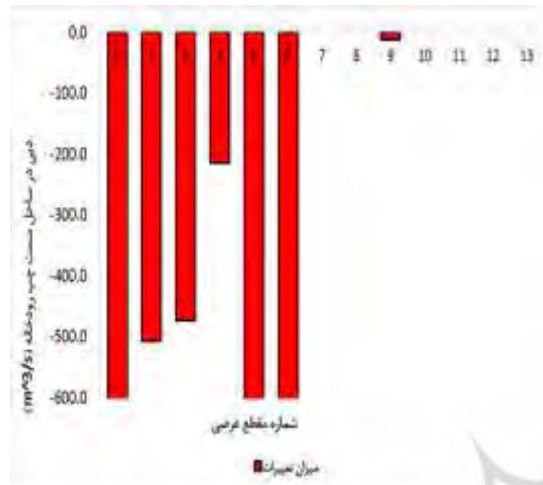
شکل (۱۸) تراز سطح آب رودخانه کر را در دو حالت قبل و بعد از احداث سد ملاصدرا نشان می‌دهد. همان‌طور که ملاحظه می‌شود تراز سطح آب پس از احداث سد ملاصدرا کاهش چشمگیری داشته است. به‌طوری که در مقطع شماره یک (ورودی بازه رودخانه) و ۱۳ (خروجی بازه منتخب) عمق آب به ترتیب به میزان  $4/51$  و  $2/27$  متر کاهش یافته است.



شکل ۱۸: میزان کاهش تراز سطح آب رودخانه کر بعد از احداث سد ملاصدرا (منبع: تحقیقات نگارندگان ۱۴۰۱)

#### مقایسه سرعت جریان آب

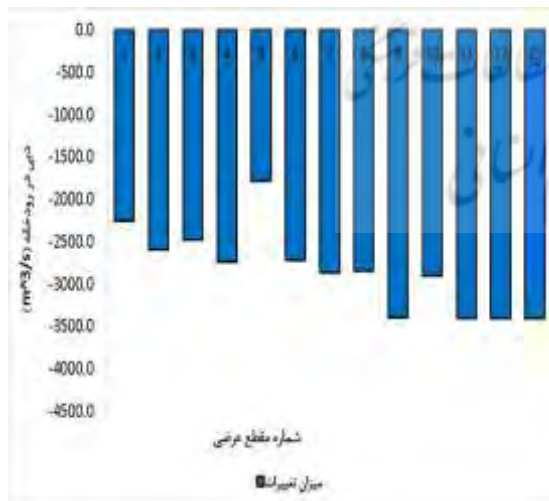
شکل (۲۲) میزان دبی ساحل سمت چپ رودخانه کر را در دو حالت قبل و بعد از احداث سد ملاصدرا نشان می‌دهد. همان‌طور که ملاحظه می‌شود میزان دبی رودخانه پس از احداث سد کاهش چشمگیری داشته است.



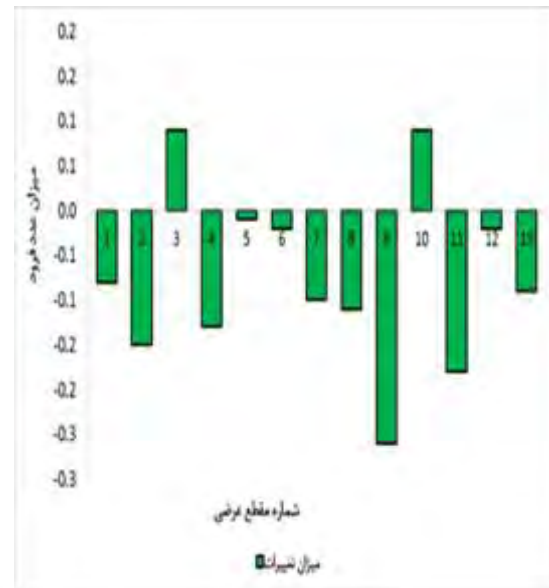
شکل ۲۲: دبی در ساحل سمت چپ رودخانه کر در قبل و بعد از احداث سد ملاصدرا (منبع: تحقیقات نگارندگان ۱۴۰۱)

#### مقایسه میزان دبی رودخانه کر

شکل (۲۳) سرعت میزان دبی رودخانه کر را در دو حالت قبل و بعد از احداث سد ملاصدرا نشان می‌دهد. همان‌طور که ملاحظه می‌شود میزان دبی رودخانه پس از احداث سد کاهش چشمگیری داشته است.



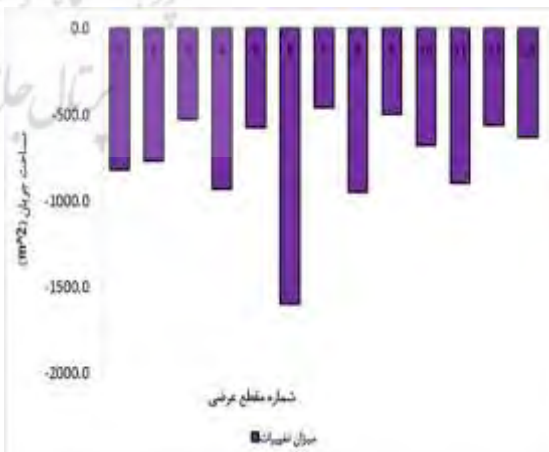
شکل ۲۳: دبی در رودخانه کر در قبل و بعد از احداث سد ملاصدرا (منبع: تحقیقات نگارندگان ۱۴۰۱)



شکل ۲۰: میزان عدد فرود رودخانه کر در قبل و بعد از احداث سد ملاصدرا (منبع: تحقیقات نگارندگان ۱۴۰۱)

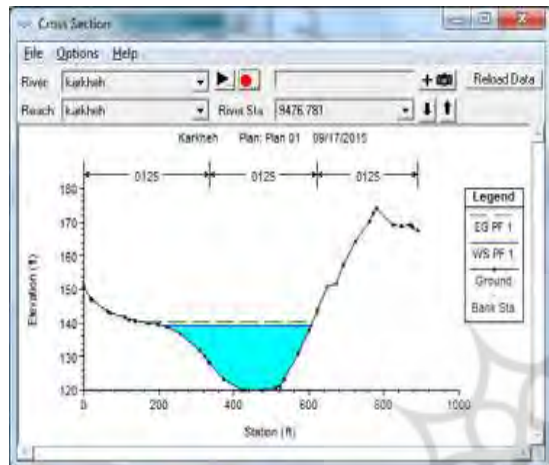
#### مقایسه مساحت جریان آب

شکل (۲۱) مساحت جریان رودخانه کر را در دو حالت قبل و بعد از احداث سد ملاصدرا نشان می‌دهد. همان‌طور که ملاحظه می‌شود مساحت جریان آب کمترین و بیشترین شماره ۷ و ۶ مساحت جریان آب کمترین و بیشترین کاهش را داشته است.

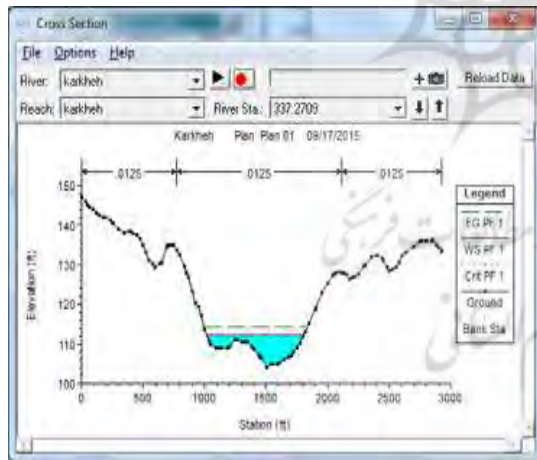


شکل ۲۱: مساحت جریان آب رودخانه کر در قبل و بعد از احداث سد ملاصدرا (منبع: تحقیقات نگارندگان ۱۴۰۱)  
مقایسه میزان دبی ساحل سمت چپ رودخانه کر

و (۲۸) به ترتیب عمق آب در مقطع عرضی شماره یک و ۱۳ را پس از اجرای مدل با دبی با دوره بازگشت ۲۵ سال (بعد از احداث سد) و درنظر گرفتن ضریب مانینگ  $n=0.0375$  برای کف کanal و دشت‌های سیلابی نشان می‌دهند.

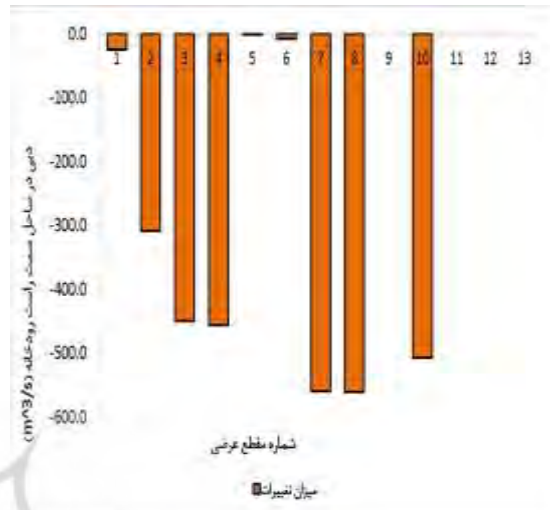


شکل ۲۵: عمق آب در مقطع عرضی شماره ۱ (ورودی بازه منتخب) به ازای  $n=0.0125$



شکل ۲۶: عمق آب در مقطع عرضی شماره ۱۳ (خروجی بازه منتخب) به ازای  $n=0.0125$

شکل (۲۴) میزان دبی در ساحل سمت راست رودخانه کر را در دو حالت قبل و بعد از احداث سد ملاصدرا نشان می‌دهد. همان‌طور که ملاحظه می‌شود میزان دبی رودخانه پس از احداث سد کاهش چشمگیری داشته است.

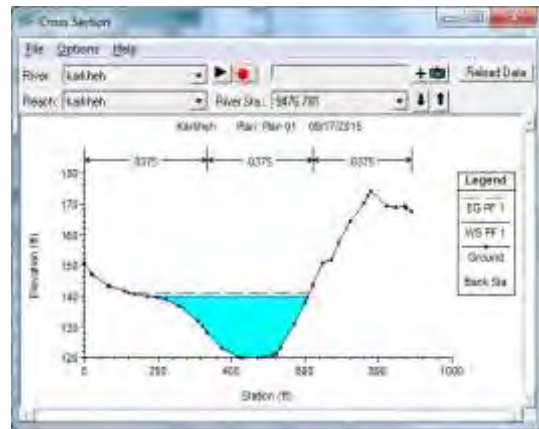


شکل ۲۴: دبی در ساحل سمت راست رودخانه کر در قبل و بعد از احداث سد ملاصدرا (منبع: تحقیقات نگارندگان ۱۴۰۱)

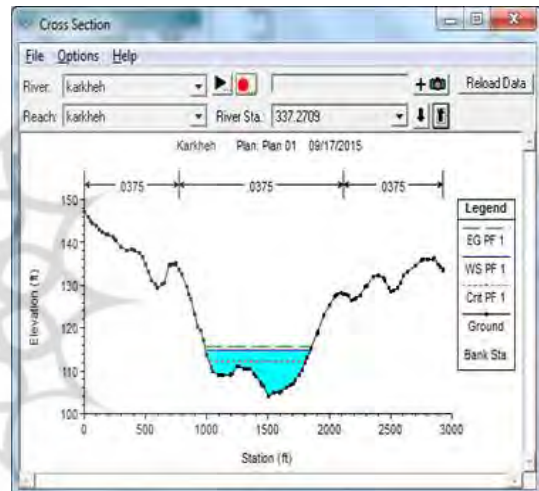
### بررسی تأثیر زیری کف رودخانه بر روی پارامترهای هیدرولیکی جریان

در این تحقیق به منظور بررسی تأثیر زیری کف کنال بر روی برخی از پارامترهای هیدرولیکی جریان رودخانه کر از مدل HEC-RAS استفاده شد و با درنظر گرفتن ضریب زیری  $n=0.0125$  درصد کمتر از میزان واقعی) و  $n=0.0375$  درصد بیشتر از مقدار واقعی) و همچنین استفاده از دبی حداقل لحظه‌ای سیلاب با دوره بازگشت ۲۵ سال رودخانه کر (بعد از احداث سد) مدل Hec-RAS اجرا گردید. خاطرنشان می‌شود که ضریب زیری رودخانه کر بر اساس نتایج حاصل از آزمایش مکانیک خاک ۰.۰۲۵ به دست آمد. شکل‌های (۲۵) و (۲۶) به ترتیب عمق آب در مقطع عرضی شماره یک و ۱۳ را پس از اجرای مدل با دبی با دوره بازگشت ۲۵ سال (بعد از احداث سد) و درنظر گرفتن ضریب مانینگ  $n=0.0125$  و شکل‌های (۲۷)

۳۰۶	۹۷۰.	۲۶.	۰۲	۵۷	۱.	۴۲.	۴۲.	۲
۰۶	۸۷	۴	۸۷	۸	۶۹	۵۲		
				۲	۲			
+	۹۱۷.	۸۲.	۰۹	۲۰	۵	۴۲.	۴۱.	۳
۷۵	۲۵	۹	۵۰	۰	۵۶	۳۱		
				۱	۶			
۴۰۳	۹۸۲.	۱۲.	۰۲	۶۷	۱.	۴۱.	۴۱.	۴
۴۳	۵۴	۳	۲۶	۵	۳۲	۲		
				۸	۵			
+	۸۹۹.	۱۰	۰۸	۲۲	۴.	۴۱.	۴۰.	۵
۵۳	۰۴	۹	۹۹	۸	۱۹	۹		
			۷	۱	۴			
۰۰۰	۹۹۲.	۷۹.	۰۲	۷۷	۱.	۳۸.	۳۸.	۶
۰۹	۱	۳	۴۳	۳	۹۸	۹۰		
				۴	۲			
۱۰۵	۹۹۱.	۰۰	۰۹	۲۲	۴.	۳۸.	۳۷.	۷
۹۵	۰	۶	۹۷	۴	۸۶	۸۶		
				۲	۵			
۰۰۰	۱۰۰	۰۰	۰۴	۴۱	۲.	۳۸.	۳۷.	۸
۰۰۰	۰	۶	۹۱	۳	۰۱	۷۲		
			۳	۹				
۰۰۰	۱۰۰	۰۰	۰۵	۳۹	۲.	۳۷.	۳۷.	۹
۰۰۰	۰	۱	۲۲	۵	۹۱	۵۸		
			۴	۵				
۰۰۰	۱۰۰	۰۰	۱۰	۲۳	۴.	۳۷.	۳۶.	۱۰
۰۰۰	۰	۰	۴۶	۲	۶۵	۷۲		
			۳	۶				
۰۰۰	۱۰۰	۰۰	۰۲	۶۷	۱.	۳۶.	۳۶.	۱۱
۰۰۰	۰	۹	۰۱	۴	۵۶	۴۰		
			۶	۹				
۰۰۰	۱۰۰	۰۰	۰۹	۲۷	۳.	۳۶.	۳۵.	۱۲
۰۰۰	۰	۹	۷۶	۶	۴۷	۸۰		
			۶	۰				
۰۰۰	۱۰۰	۰۰	۱۰	۲۸	۳.	۳۴.	۳۴.	۱
۰۰۰	۰	۱	۸۹	۴	۸۰	۱۹		
			۱	۶				



شکل ۲۷: عمق آب در مقطع عرضی شماره ۱ (ورودی بازه منتخب) به ازای  $n=0,0375$



شکل ۲۸: عمق آب در مقطع عرضی شماره ۱۳ (خروجی

محتويات جدول (٥) و (٦) به ترتیب میزان عددی

پارامترهای هیدرولیکی جریان رودخانه کر را به ازای ضریب

زبری مانینگ ۱۲۵ و  $n=375$  نشان می‌دهند

## جدول (۵): نتایج مدل‌سازی جریان رودخانه کر به‌ازای $n=1,128$

دبي  
دبي  
دبي  
مسقط  
سريلانكا  
تونس  
مقديشو

مع عرض سطح ز: موزانه اندیز مرا را در خود حفظ جو جست: از اینجا آغاز شد

نمود را  
 $\frac{1}{3}(S)$   
نمود  
یان (۲)  
ان ( $S$ )  
 $(M)$   
آب ( $m$ )  
رودخانه

ست (N) پن (N) نه (N) )

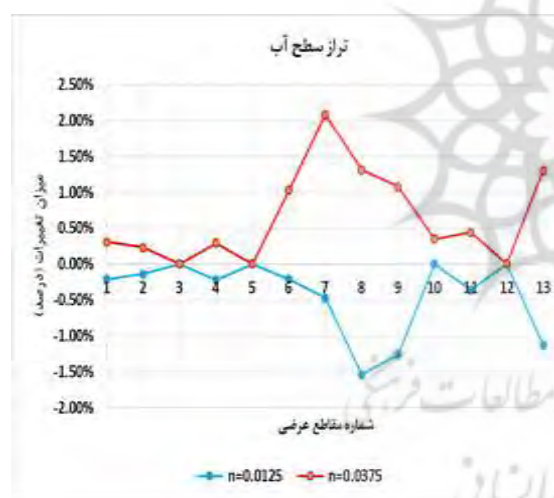
94 .6 V 4.6 F VF FF

ω γ |

۰۰۰	۱۰۰	۰۰	۰۰	۲۷	۳۰	۳۶	۳۵	۱۲
۰۰۰	۰	۹	۷.۶	۶۰	۴۷	۸۰		
		۹	۶					
۰۰۰	۱۰۰	۰۰	۰۰	۴۹	۲۰	۳۵.	۳۵.	۱۳
۰۰۰	۰	۴۶	۹.۱	۰	۲۳	۰۳		
		۲	۰					

مقایسه تراز سطح آب در دو حالت  $n=125$  و  $n=375$

باتوجه به محتويات جداول (۵) و (۶) و شکل (۲۹)، می‌توان پی برد که تراز سطح آب در رودخانه کر نسبت به کاهش و افزایش ضریب زبری حساس می‌باشد. بهطوری که با کاهش ضریب زبری تراز سطح آب کاهش و با افزایش آن افزایش می‌یابد. پس می‌توان نتیجه گرفت که سرعت جریان آب با ضریب زبری مانینگ رابطه مستقيمي دارد.



شکل ۲۹: میزان حساسیت تراز سطح آب نسبت به ضریب زبری مانینگ (منبع: تحقیقات نگارندگان ۱۴۰۱)

مقایسه سرعت جریان آب در دو حالت  $n=375$  و  $n=125$

باتوجه به محتويات جداول (۵) و (۶) و شکل (۳۰)، می‌توان پی برد که سرعت جریان آب در رودخانه کر نسبت به کاهش و افزایش ضریب زبری حساس می‌باشد. بهطوری که با کاهش ضریب زبری سرعت جریان آب افزایش و با افزایش آن کاهش می‌یابد. پس می‌توان نتیجه گرفت که

جدول (۶): نتایج مدل‌سازی جریان رودخانه کر بهازای

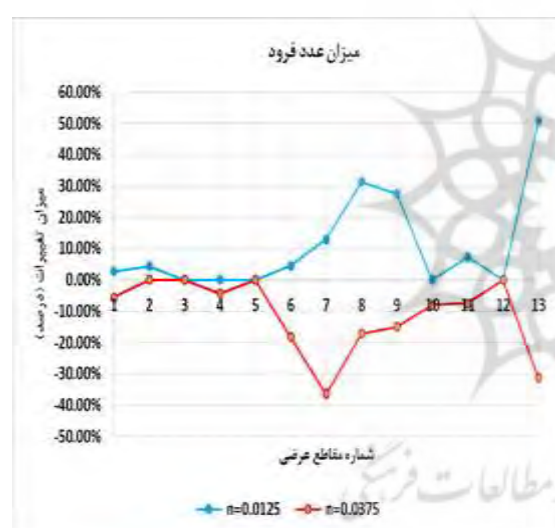
$n=375$

مقطع عرضی رودخانه	تراز سطح آب (M)	سرعت جریان (M/S)	مسافت بین جریان (M)	عدد فروند سفنه	نی ساحل سمت راست (M³/S)	نی رودخانه (M³/S)
۱	۴۲.۰	۴۲.۰	۴۲.۰	۰	۴۶۳	۹۴۰
	۶۶	۳	۹۳	۰.۹	۵۹.	۳۴
	۵			۴		
۲	۴۲.۰	۴۲.۰	۴۲.۰	۰	۵۹	۹۶۶
	۶۸	۲	۸۳	۸.۴	۲۹.	۶۶
	۷	۲	۶۸	۲		
۳	۴۱.۰	۴۱.۰	۴۱.۰	۰	۲۰	۹۱۷
	۳۱	۰.۶	۵۶	۵.۰	۸۲.	۷۵
	۱	۱		۹		
۴	۴۱.۰	۴۱.۰	۴۱.۰	۰	۴۶	۹۷۵
	۴۱	۱	۵۲	۱	۸۱	۹۵
	۱	۱		۲		
۵	۴۰.۰	۴۰.۰	۴۰.۰	۰	۷۱	۸۹۹
	۰.۹	۴	۱۹	۸	۰.۴	۵۳
	۴	۱		۷		
۶	۳۹.۰	۳۹.۰	۳۹.۰	۰	۹۰.۶	۹۸۱.
	۳۸	۱	۴۵	۱	۱۹	۰..
	۰.۹	۴		۸		
۷	۳۸.۰	۳۸.۰	۳۸.۰	۰	۷.۴	۹۵۲.
	۸۳	۵	۲۶	۵.۰	۰..	۵
	۴	۵		۴		
۸	۳۸.۰	۳۸.۰	۳۸.۰	۰	۶.۹	۱۰۰
	۸۱	۲	۹۶	۳.۳	۰..	۰..
	۶	۶		۹		
۹	۳۸.۰	۳۸.۰	۳۸.۰	۰	۴.۹	۱۰۰
	۴۷	۳	۷۴	۰.۷	۰..	۰..
	۴	۷		۲		
۱۰	۳۶.۰	۳۶.۰	۳۶.۰	۰	۲.۵	۱۰۰
	۸۵	۹	۶۶	۰.۷	۰..	۰..
	۶	۶		۶		
۱۱	۳۶.۰	۳۶.۰	۳۶.۰	۰	۲	۱۰۰
	۷۴	۳	۷۴	۰.۳	۰..	۰..
	۴	۴		۴		

شکل ۳۱: میزان حساسیت دبی جریان نسبت به ضریب زبری مانینگ (منبع: تحقیقات نگارندگان ۱۴۰۱)

مقایسه تغییرات دبی رودخانه در دو حالت  $n=0,0125$  و  $n=0,0375$

باتوجه به محتویات جداول (۵) و (۶) و شکل (۳۲)، می‌توان پی برد که عدد فرود رودخانه کر نسبت به کاهش و افزایش ضریب زبری حساس می‌باشد. بهطوری که با کاهش ضریب زبری عدد فرود افزایش و با افزایش آن کاهش می‌پلبد. پس می‌توان نتیجه گرفت که میزان عدد فرود با ضریب زبری مانینگ رابطه معکوسی دارد.



شکل ۳۲: میزان حساسیت عدد فرود نسبت به ضریب زبری مانینگ (منبع: تحقیقات نگارندگان ۱۴۰۱)

مقایسه تغییرات مساحت جریان در دو حالت

باتوجه به محتویات جداول (۵) و (۶) و شکل (۳۳)، می‌توان پی برد که مساحت جریان رودخانه کر نسبت به کاهش و افزایش ضریب زبری حساس می‌باشد. بهطوری که با کاهش ضریب زبری، مساحت جریان کاهش و با افزایش آن افزایش می‌پابد. پس می‌توان نتیجه گرفت که میزان عدد فرود با ضریب زبری مانینگ رابطه مستقیمی دارد.

سرعت جریان آب با ضریب زبری مانینگ رابطه معکوسی دارد.



شکل ۳۰: میزان حساسیت سرعت جریان آب نسبت به ضریب زبری مانینگ (منبع: تحقیقات نگارندگان ۱۴۰۱)

مقایسه تغییرات دبی رودخانه در دو حالت  $n=0,0125$  و  $n=0,0375$

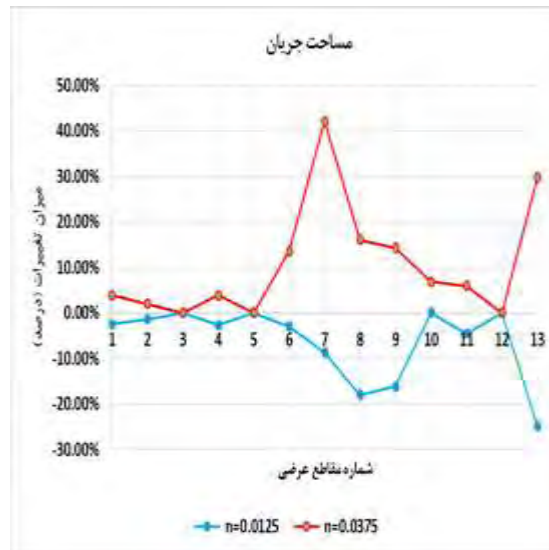
باتوجه به محتویات جداول (۵) و (۶) و شکل (۳۱)، می‌توان پی برد که دبی رودخانه کر نسبت به کاهش و افزایش ضریب زبری حساس می‌باشد. بهطوری که با کاهش ضریب زبری دبی رودخانه افزایش و با افزایش آن کاهش می‌پلبد. پس می‌توان نتیجه گرفت که دبی رودخانه با ضریب زبری مانینگ رابطه معکوسی دارد.



ب: با احداث سد ملادر برخی از پارامترها مانند میزان تراز سطح آب، سرعت جریان آب، مساحت جریان آب، میزان دبی ساحل سمت چپ، میزان دبی رودخانه کرخه، میزان دبی ساحل سمت چپ کاهش می‌یابد. علاوه بر این میزان عدد فرود در همه مقاطع به‌غیراز مقاطع عرضی شماره ۳ و ۱۰ کاهش می‌یابد.

ج: با کاهش ضریب زبری کف و سیلاب‌دشت‌های رودخانه به میزان ۵۰ درصد مقدار واقعی آن، پارامترهای نظیر تراز سطح آب، مساحت جریان نیز کاهش و پارامترهای نظیر سرعت جریان آب، دبی رودخانه، دبی رودخانه در ساحل سمت راست و چپ افزایش می‌یابند.

د: با افزایش ضریب زبری کف و سیلاب‌دشت‌های رودخانه به میزان ۵۰ درصد مقدار واقعی آن، پارامترهای نظیر تراز سطح آب، مساحت جریان نیز افزایش و پارامترهای نظیر سرعت جریان آب، دبی رودخانه، دبی رودخانه در ساحل سمت راست و چپ کاهش می‌یابند.



شکل ۳۳: میزان حساسیت مساحت جریان آب نسبت به ضریب زبری مانینگ (منبع: تحقیقات نگارندگان ۱۴۰۱)

### بحث و نتیجه‌گیری

در این تحقیق بازه‌ای به طول حدود ۱۰ کیلومتر از رودخانه کر (پایین‌دست ایستگاه هیدرومتری چمریز) انتخاب شد و پس از تهیه آمار دبی رودخانه در دو حالت قبل و بعد از احداث سد ملادر، اثر احداث سد بر روحی جریان رودخانه بررسی شد. سپس با درنظرگرفتن دبی رودخانه بهازای دوره بازگشت ۲۵ سال برای دو حالت قبل و بعد از احداث سد مدل جریان ملندگار رودخانه مذکور توسط نرم‌افزار HEC RAS تهیه و سپس با یکدیگر مقایسه شدند. در ادامه بر اساس دبی با دوره بازگشت ۲۵ سال بعد از احداث سد اقدام به تغییر ضریب زبری مانینگ به میزان ۵۰ درصد از مقدار اولیه گردید و مجدداً مدل HEC-RAS اجرا گردید. با توجه به نتایج حاصل از بخش‌های مختلف این

تحقیق می‌توان نتیجه گرفت که:

الف: احداث سد ملادر باعث شده است که سیلاب رودخانه کر بهازای دوره بازگشت‌های مختلف بهشت کاهش یابد، اما در دوره بازگشت‌های بالاتر این اختلاف کمتر می‌شود.

۱- حسینی، م. و همکاران .۱۴۰۰. تأثیر توان تفکیک DEM و ضریب زبری مانینگ بر کارائی مدل HEC-RAS-WMS در تعیین پهنه‌های مخاطره سیلاب(مطالعه موردی: رودخانه کشکان، استان لرستان)، مجله آمایش جغرافیایی فضای، فصلنامه علمی - پژوهشی دانشگاه گلستان، س ۱۱، ش ۴۱، پائیز ۱۴۰۰

۲- اسماعیلی، ع. مساعدی، ا. ۱۴۰۰. تاثیرسازه‌های تقاطعی و ضریب زبری بر عمق و پهنه سیلاب در مسیلهای شهری (مطالعه موردی مسیله زرگش مشهد)، نشریه علوم آب و خاک، سال ۲۶، شماره دوم، تابستان ۱۴۰۱

۳- صابری تنسوان، م. گنجی نوروزی، ز. دل قندی، م.

- ن. ۱۳۹۳. اثرات برداشت شن و ماسه بر مورفولوژی بستر رودخانه با استفاده از مدل HEC-RAS مطالعه موردی: رودخانه جراحی خوزستان، دومین همایش ملی کشاورزی و منابع طبیعی پایدار.
- ۱۲- قانع، ا. حسینی، خ. ۱۳۹۲. ارزیابی طرح ساماندهی رودخانه با مطالعه تغییرات روند فرسایش و رسوب (مطالعه موردی: رودخانه حسین‌آباد کال پوش)، کنفرانس ملی مدیریت سیلاب، تهران.
- ۱۳- صدریان زاده، م. ۱۳۹۱. بررسی عمق آبستنگی پایه پل با توجه به شکل پایه و عوامل هیدرولیکی به‌وسیله مدل HEC-RAS، نهمین سمینار بین‌المللی مهندسی رودخانه، اهواز، دانشگاه شهید چمران اهواز.
- ۱۴- شهربانیان، ا.ح. ۱۳۹۲. بررسی تأثیر سازه‌های احتمالی بر پهنه‌های سیلابی رودخانه با استفاده از مدل‌های تحلیل هیدرولیکی در رودخانه پسیخانی استان گیلان، کنفرانس ملی مدیریت سیلاب، تهران.
- ۱۵- سیفی کبریا، ع. ر. نجفی جیلانی، ع. ا ذاکری نیری، م. ۱۳۹۳. ارزیابی رسوب بستر رودخانه‌ای و آنالیز حساسیت با استفاده از مدل‌های تلفیقی ریاضی مطالعه موردی رودخانه تالار استان مازندران، دومین همایش ملی کشاورزی و منابع طبیعی پایدار، به صورت الکترونیکی، مؤسسه آموزش عالی مهر ارونده، گروه ترویجی دوستداران محیط‌زیست.
- ۱۶- Adams, Barry J., Papa., Fabian . . . . . Urban Stormwater Management Planning with Analytical Probabilistic Models. ۸۸۸ pages. Wiley, . . . . .
- ۱۷- Westervelt, James. ۱۱۱. Simulation Modeling for Watershed Management. Springer Science & Business Media.
- ۱۸- Tate, E, madiment, D, ۱۹۹۹. Floodplain Mapping Using HEC-RAS and ArcView GIS. CRWR Online Report ۹۹-۱.
- ۱۹- Simons DB and Richardson Ev (۱۹۶۶). Resistance to flow in alluvial channels. US Geological Survey, protessions paper ۴۲۲-J.
- ۲۰- Murray- Rust. D.H. and Snellen W.B. ۶۶۶. Irrigation System Performance Assessment and درستکار، و. ۱۳۹۹. بررسی آنالیز حساسیت پارامترهای سیل نسبت به تغییرات زبری (مطالعه موردی: منطقه شیروان). نشریه علمی - پژوهشی مهندسی آبیاری و آب ایران، دوره ۱۰، شماره ۴ - شماره پیاپی ۴۰ تیر ۱۳۹۹، صفحه ۱۶۷-۱۸۰.
۴. پاریزی، ا.حسینی، سید م. ۱۴۰۲. برآورد میزان دقیق مدل رقومی ارتفاعی TanDEM-X در شبیه‌سازی مشخصات هیدرولیکی سیلاب مطالعه موردی: حوضه رودخانه اترک(جغرافیا و برنامه‌ریزی محیطی، دوره ۳۴ شماره ۲ - شماره پیاپی ۹۰، تیر ۱۴۰۲، صفحه ۱۳۴-۱۱۳.
۵. چراغعلی زاده، م. رفیعی، م. ۱۳۹۳. بررسی تحلیلی جریان در حوضچه ترسیب آبگیر سد انحرافی - تنظیمی چم شیر، پانزدهمین کنفرانس دانشجویان عمران سراسر کشور، ارومیه، انجمن علمی دانشجویی عمران دانشگاه ارومیه.
- ۶- سازمان برنامه‌وبدجه، وزارت نیرو، ۱۳۷۵. دستورالعمل مطالعات فیزیوگرافی در حوزه‌های آبریز، نشریه شماره ۱۶.
- ۷- عباسی چناری، ع. ا. ملک نژاد یزدی، م. ۱۳۹۱. برآورد ضریب زبری مانینگ در کانالهای طبیعی مطالعه موردی رودخانه کارد، نهمین سمینار بین‌المللی مهندسی رودخانه، اهواز، دانشگاه شهید چمران اهواز.
- ۸- عطاری، ج. ۱۳۹۰. مقایسه دو نرم‌افزار RAS-۴.۱ و MIKE ۱۱ در شبیه‌سازی جریان غیردانئی سیلاب در رودخانه گرگان رود. ششمین کنگره ملی مهندسی عمران
- ۹- غلامی. و، و خلیلی، م. ۱۳۹۳. پهنه‌بندی خطر سیل با دو مدل ماد کلارک و HEC-RAS در آبخیز سد بوستان استان گلستان. نشریه علمی - پژوهشی آب و خاک. صفحات ۷۴۱-۷۲۹.
- ۱۰- وارسته، ح. عبدالویس، س. حمادی، ک. ۱۳۹۱. اثرات منفی انتقال آب بین حوضه‌ای بر عملکرد سازه‌های آبگیر و نیاز زیستمحیطی رودخانه کارون بزرگ، نهمین سمینار بین‌المللی مهندسی رودخانه، اهواز، دانشگاه شهید چمران اهواز.
- ۱۱- میری، ع. حقی زاده، ع. زینی وند، ح. طهماسبی پور،

Diagnosis. International Water Management Institute, Colombo, Sri Lanka, .., ۸۸۸ p.

- ۲۱- Kondolf, G.M., Smeltzer, M. and Kimbal, L. "Freshwater Gravel Mining and Dredging Issues", Center for Environmental Design Research ... Wurster Hall University of California Berkeley CA ۹۴۷۲۰, December .., ۱۱۱۱.
- ۲۲- Rogers, D.C. and Merkley, G.P. ۱۹۹۳. Description and evaluation of program USM. J. Irrig. Drain. Eng. ۹۹(۴): ۶۹۳-۲۲۲.
- ۲۳- Maqsood, I. ۶۶۶. A GIS-supported ۳D approach for flood risk assessment of the Qu'Appelle River, Southern Saskatchewan. Int. J. Risk Assess. Manage., ۷, ۰۰۰-۵۰۰.
- ۲۴- J,Yang-chang, Chih TedYANG, Francisco J.M.SIMÕES. ۳۳۳۳. GSTARS computer models and their applications, part I: theoretical development. International Journal of Sediment Research Volume ۲۲, Issue ۳, Pages ۷۷۷-۱۱۱



## Sensitivity analysis of Manning roughness coefficient of rivers in HEC-RAS model to determine flood zones (case study: Ker River-Fars province)

Vahid Sohrabi <sup>1</sup>, Farshid Hashemipour Petkoi <sup>1</sup>, Hamid Sheikhpour Shahi <sup>1\*</sup>

### Abstract

**Introduction:** Rivers are one of the few natural phenomena that, despite the countless damages they have caused to humans since a long time ago, due to their special impact on human life and the formation of civilizations, humans have always been called to the lands along the river. In Iran, due to its large size, multiple climates, and temporal and spatial density of rains in most watersheds, huge floods have been witnessed in most regions of the country every year, many of which cause a lot of human and financial losses.

**Methodology:** In this research, ۲۰ km long stretches of the Ker River (downstream of the Chamriz Hydrometric Station) were selected, and after preparing the statistics of the maximum instantaneous discharge of the river in two states before and after the construction of the Molla Sadra Dam, the effect of the construction of the dam on the river flow Checked out. Then, taking into account the river discharge per discharge with a return period of ۵۰ years for two situations before and after the construction of the dam, the permanent flow model of the mentioned river was prepared by HEC-RAS software and then compared with each other. In the following, based on discharge with a return period of ۵۰ years after the construction of the dam, the Manning roughness coefficient was changed to ۷۷٪ of the initial value and the HEC-RAS model was implemented again. The construction of the said dam has caused some parameters such as water level, water flow speed, water flow area, flow rate in the river and also the flood of its plains to decrease.

**Results:** The results of the sensitivity analysis of some parameters in relation to Manning's roughness coefficient showed that with the decrease of Manning's roughness coefficient, some parameters such as water level and flow area also decrease and parameters such as water flow speed, river discharge, river discharge on the right bank and the left increases and vice versa.

**Keywords:** Ker River, roughness coefficient, HEC-RAS, sensitivity analysis